



Efeitos de violação de CP de Física Além do  
Modelo Padrão para oscilações de neutrinos



Orlando L. G. Peres  
UNICAMP

Em colaboração: M. E. Chaves e P. C. de Holanda

Apoio:



## Violação CP à la Cabibbo-Kobaiashi-Maskawa no Modelo Padrão para quarks

Teoria Eletrofraca

$$SU(2)_L \times U(1)_Y \quad W^{\mu,a} \quad B^\mu \quad L = \begin{pmatrix} \nu_e \\ e^- \end{pmatrix}_L \quad e_R^-$$



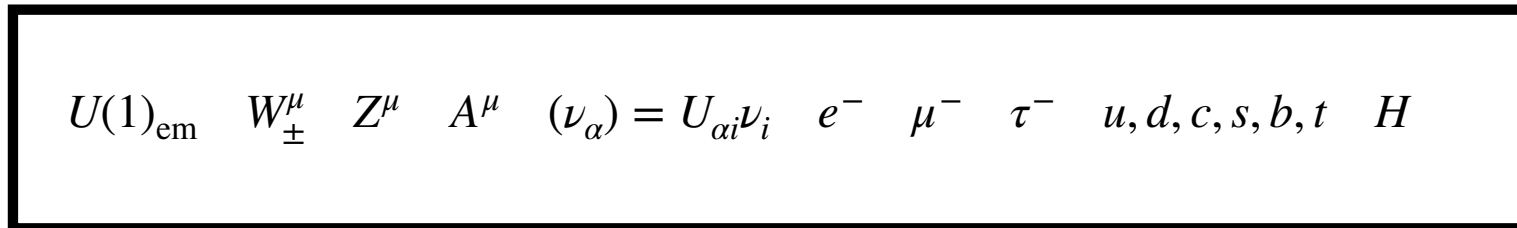
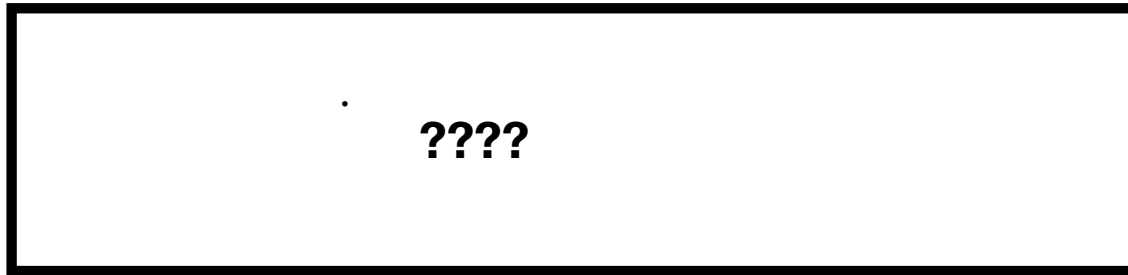
$$U(1)_{\text{em}} \quad W^\mu_\pm \quad Z^\mu \quad A^\mu \quad (\nu_\alpha)_L \quad e^- \quad \mu^- \quad \tau^- \quad u, d, c, s, b, t \quad H$$

$$\mathcal{L}_{CKM} = 2\sqrt{2}G_f \left( \bar{u}_j V_{CKM}^{jk} \gamma^\mu P_L d_k \bar{l}_\alpha P_L \gamma_\mu \nu_\beta \right) = 2\sqrt{2}G_f \left( \bar{u}_j V_{CKM}^{jk} \gamma^\mu P_L d_k \bar{l}_\alpha P_L \gamma_\mu \nu_i \right)$$

$G_f$  é a constante de Fermi,  $P_L$  é o projetor de mão esquerda,  $V_{CKM}^{jk}$  é uma matriz complexa fonte da violação CP.

Não existe mistura no setor dos leptons

## Física Além do Modelo padrão: de oscilação atual



$$\mathcal{L}_{PMNS} = 2\sqrt{2}G_f \left( \bar{u}_j V_{CKM}^{jk} \gamma^\mu P_L d_k \bar{l}_\alpha P_L \gamma_\mu \nu_\beta \right) = 2\sqrt{2}G_f \left( \bar{u}_j V_{CKM}^{jk} \gamma^\mu P_L d_k \bar{l}_\alpha P_L \gamma_\mu U_{\beta i}^{PMNS} \nu_i \right)$$

$U^{PMNS}$  (Pontecorvo, Maki, Nakagawa, Sakata) é uma matriz complexa, fonte da violação CP.

## Física Além do Modelo padrão: novas interações

????



$U(1)_{\text{em}} \quad W_{\pm}^{\mu} \quad Z^{\mu} \quad A^{\mu} \quad (\nu_{\alpha}) = U_{\alpha i} \nu_i \quad e^{-} \quad \mu^{-} \quad \tau^{-} \quad u, d, c, s, b, t \quad H \quad X$

$$\mathcal{L}_{BSM} = 2\sqrt{2}G_f \left( \overbrace{\frac{1}{2} [\epsilon_S]_{\alpha\beta} \bar{u}_j V_{\text{CKM}}^{jk} d_k \bar{l}_{\alpha} P_L \nu_{\beta}}^{\text{ESCALAR}} + \overbrace{\frac{1}{4} [\epsilon_T]_{\alpha\beta} \bar{u}_j V_{\text{CKM}}^{jk} \sigma^{\mu\nu} P_L d_k \bar{l}_{\alpha} P_L \sigma_{\mu\nu} \nu_{\beta}}^{\text{TENSORIAL}} \right)$$

No Modelo de oscilação adotado hoje

$$\mathcal{L}_{PMNS} = 2\sqrt{2}G_f \left( \bar{u}_j V_{\text{CKM}}^{jk} \gamma^{\mu} P_L d_k \bar{l}_{\alpha} P_L \gamma_{\mu} \nu_{\beta} \right) = 2\sqrt{2}G_f \left( \bar{u}_j V_{\text{CKM}}^{jk} \gamma^{\mu} P_L d_k \bar{l}_{\alpha} P_L \gamma_{\mu} U_{\beta i}^{\text{PMNS}} \nu_i \right)$$

$[\epsilon_S]_{\alpha\beta}$  ( $[\epsilon_T]_{\alpha\beta}$ ) o acoplamento escalar (tensorial) carregado é uma matriz complexa, fonte da violação CP.

## Física Além do Modelo padrão: novas interações

????



$U(1)_{\text{em}} \quad W_{\pm}^{\mu} \quad Z^{\mu} \quad A^{\mu} \quad (\nu_{\alpha}) = U_{\alpha i} \nu_i \quad e^{-} \quad \mu^{-} \quad \tau^{-} \quad u, d, c, s, b, t \quad H \quad X$

$$\mathcal{L}_{BSM} = 2\sqrt{2}G_f \left( \frac{1}{2} [\epsilon_S]_{\alpha\beta} \bar{u}_j V_{\text{CKM}}^{jk} d_k \bar{l}_{\alpha} P_L \nu_{\beta} + \frac{1}{4} [\epsilon_T]_{\alpha\beta} \bar{u}_j V_{\text{CKM}}^{jk} \sigma^{\mu\nu} P_L d_k \bar{l}_{\alpha} P_L \sigma_{\mu\nu} \nu_{\beta} \right)$$

No Modelo de oscilação adotado hoje

$$\mathcal{L}_{PMNS} = 2\sqrt{2}G_f \left( \bar{u}_j V_{\text{CKM}}^{jk} \gamma^{\mu} P_L d_k \bar{l}_{\alpha} P_L \gamma_{\mu} \nu_{\beta} \right) = 2\sqrt{2}G_f \left( \bar{u}_j V_{\text{CKM}}^{jk} \gamma^{\mu} P_L d_k \bar{l}_{\alpha} P_L \gamma_{\mu} U_{\beta i}^{\text{PMNS}} \nu_i \right)$$

$[\epsilon_S]_{\alpha\beta}$  ( $[\epsilon_T]_{\alpha\beta}$ ) o acoplamento escalar (tensorial) carregado é uma matriz complexa, fonte da violação CP.

## Como incluir interações não padrões na fenomenologia ?

### Modo usual

$$\mathcal{L}_{BSM} = 2\sqrt{2}G_f \left( \frac{1}{2} [\epsilon_S]_{\alpha\beta} \bar{u}_j V_{\text{CKM}}^{jk} d_k \bar{l}_\alpha P_L \nu_\beta + \frac{1}{4} [\epsilon_T]_{\alpha\beta} \bar{u}_j V_{\text{CKM}}^{jk} \sigma^{\mu\nu} P_L d_k \bar{l}_\alpha P_L \sigma_{\mu\nu} \nu_\beta \right)$$

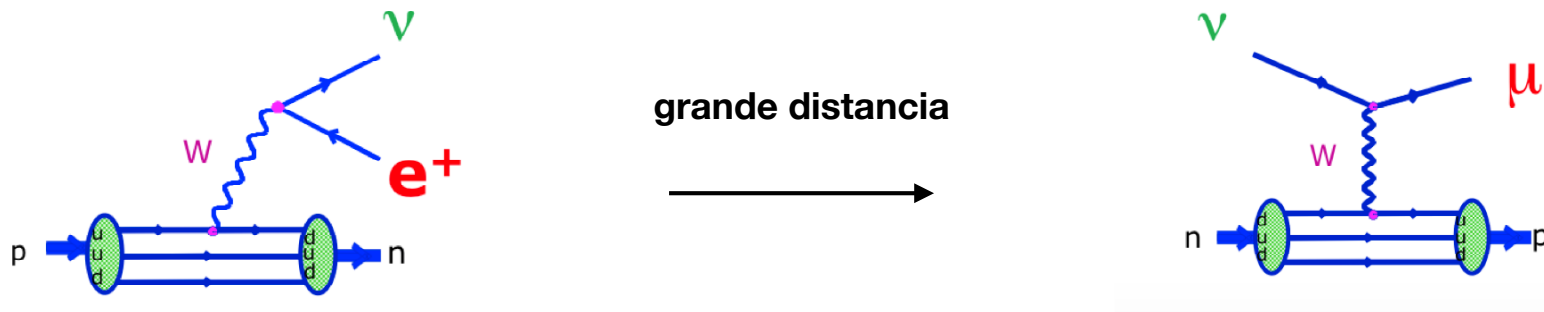
**Assuma os parâmetros constantes (independente da energia)  $[\epsilon_S]_{\alpha\beta}$  e  $[\epsilon_T]_{\alpha\beta}$  e independente da reação de produção e de detecção dos neutrinos e compare com a fenomenologia.**

**No jargão de física de neutrinos são parâmetros que caracterizam NSI (Non-Standard Interactions) de produção e detecção.**

**$[\epsilon_S]_{\alpha\beta}$  ( $[\epsilon_T]_{\alpha\beta}$ ) o acoplamento escalar (tensorial) carregado é uma matriz complexa, fonte da violação CP.**

## Como incluir interações não padrões na fenomenologia ?

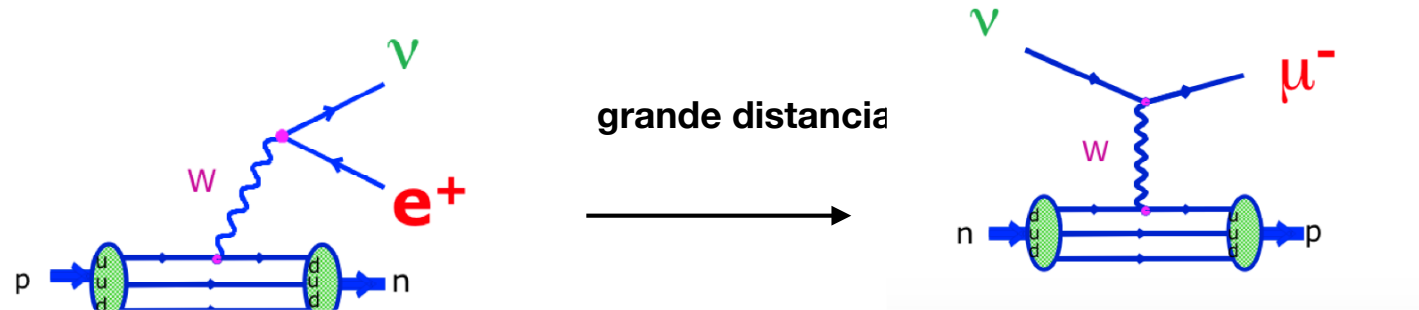
### Oscilação usual



Quando observamos isto dizemos que o  $\nu_e$  oscilou para  $\nu_\mu$ .

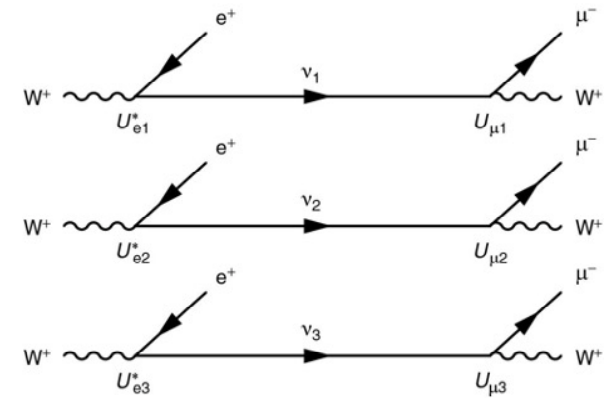
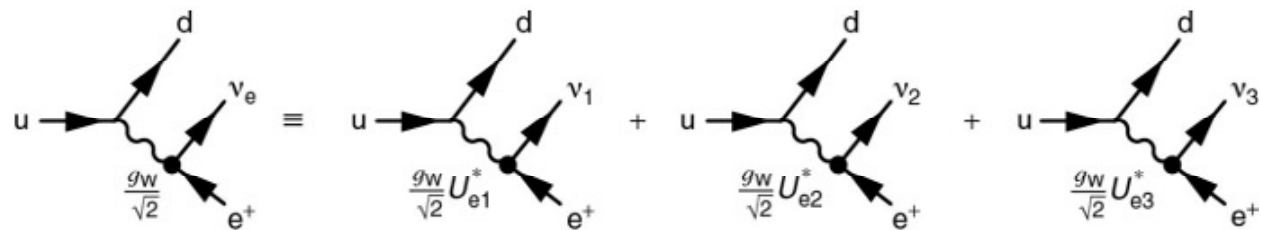
# Como incluir interações não padrões na fenomenologia ?

## Oscilação usual



Quando observamos isto dizemos que o  $\nu_e$  oscilou para  $\nu_\mu$ .

O processo pode ser descrito por





## Como incluir interações não padrões na fenomenologia ?

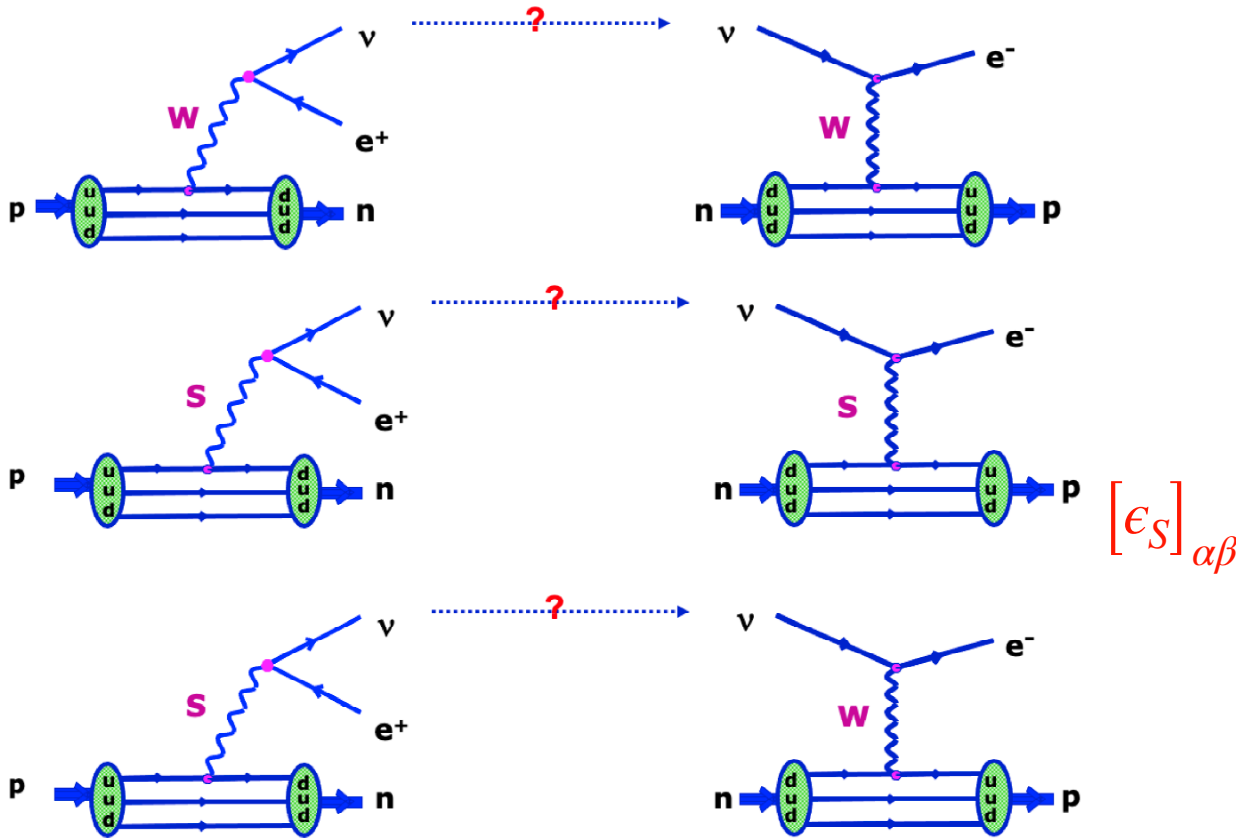
Modo que adotamos (da Refs citadas abaixo)

$$\mathcal{L}_{\text{BSM}} = 2\sqrt{2}G_f \left( \frac{1}{2} [\epsilon_S]_{\alpha\beta} \bar{u}_j V_{\text{CKM}}^{jk} d_k \bar{l}_\alpha P_L \nu_\beta + \frac{1}{4} [\epsilon_T]_{\alpha\beta} \bar{u}_j V_{\text{CKM}}^{jk} \sigma^{\mu\nu} P_L d_k \bar{l}_\alpha P_L \sigma_{\mu\nu} \nu_\beta \right)$$

Iremos seguir o procedimento de calcular as amplitudes dos processos,

$$\mathcal{A}_{\text{total}} = \mathcal{A}_{\text{PMNS}} + \mathcal{A}_{\text{Scalar}}^{\text{BSM}},$$

$$\left( \mathcal{A}_{\text{total}}^{\text{P,D}} \right)_{\alpha i} = \left( \mathcal{A}_{\text{PMNS}} \right)_{\alpha i}^{\text{P,D}} + \left( \mathcal{A}_{\text{BSM}} \right)_{\alpha i}^{\text{P,D}} = U_{\alpha i} (*) \mathcal{M}_W^{\text{P,D}} + [\epsilon_X U]_{\alpha i} (*) \mathcal{M}_X^{\text{P,D}}$$



A. A. Falkowski, M. Gonzalez-Alonso, and Z. Tabrizi, [JHEP 05, 173, arXiv:1901.04553](#) 316 [hep-ph]

B. A. Falkowski, M. Gonzalez-Alonso, and Z. Tabrizi, [JHEP 11, 048, arXiv:1910.02971](#) [hep-ph]

## Como incluir interações não padrões na fenomenologia ?

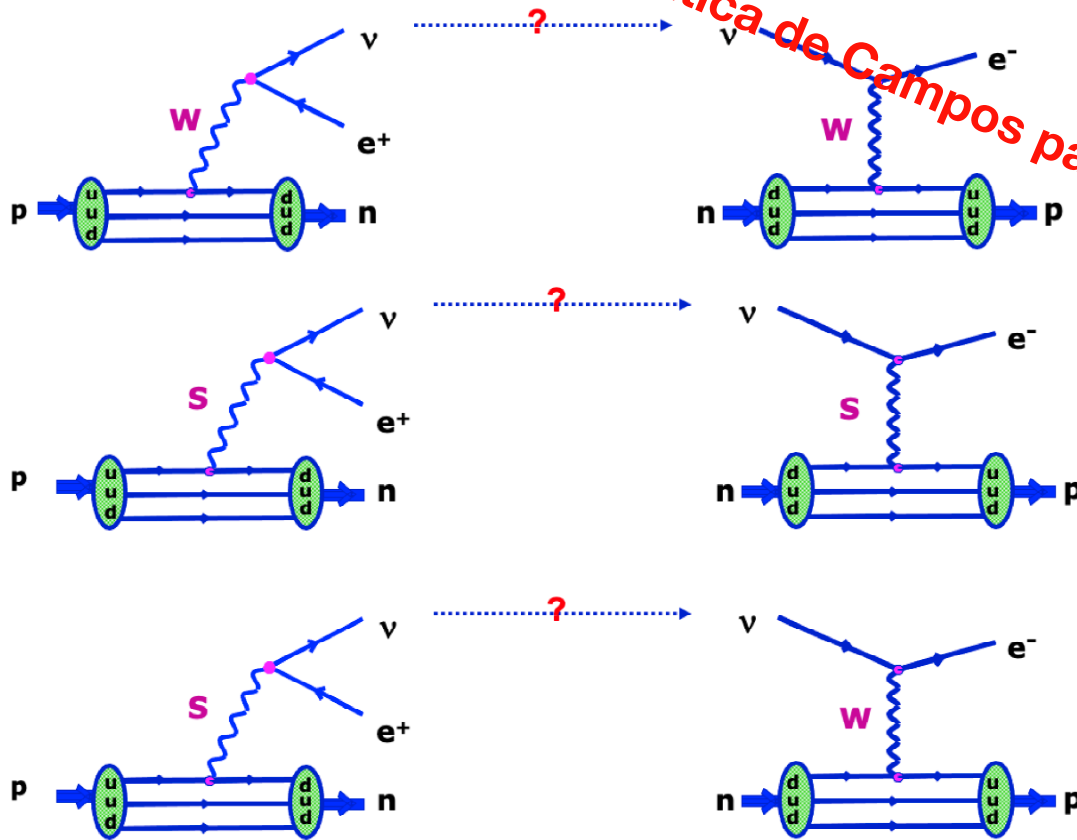
Modo que adotamos (da Refs citadas abaixo)

$$\mathcal{L}_{\text{BSM}} = 2\sqrt{2}G_f \left( \frac{1}{2} [\epsilon_S]_{\alpha\beta} \bar{u}_j V_{\text{CKM}}^{jk} d_k \bar{l}_\alpha P_L \nu_\beta + \frac{1}{4} [\epsilon_T]_{\alpha\beta} \bar{u}_j V_{\text{CKM}}^{jk} \sigma^{\mu\nu} P_L d_k \bar{l}_\alpha P_L \sigma_{\mu\nu} \nu_\beta \right)$$

Iremos seguir o procedimento de calcular as amplitudes dos processos,

$$\mathcal{A}_{\text{total}} = \mathcal{A}_{\text{PMNS}} + \mathcal{A}_{\text{Scalar}}^{\text{BSM}},$$

$$\left( \mathcal{A}_{\text{total}}^{\text{P,D}} \right)_{\alpha i} = \left( \mathcal{A}_{\text{PMNS}}^{\text{P,D}} \right)_{\alpha i} + \left( \mathcal{A}_{\text{BSM}}^{\text{P,D}} \right)_{\alpha i} = U_{\alpha i} (*) \mathcal{M}_W^{\text{P,D}} + [\epsilon_X U]_{\alpha i} (*) \mathcal{M}_X^{\text{P,D}}$$



$$[\epsilon_S]_{\alpha\beta}$$

A. A. Falkowski, M. Gonzalez-Alonso, and Z. Tabrizi, [JHEP 05, 173, arXiv:1901.04553](#) 316 [hep-ph]

B. A. Falkowski, M. Gonzalez-Alonso, and Z. Tabrizi, [JHEP 11, 048, arXiv:1910.02971](#) [hep-ph]

Como incluir interações não padrões na fenomenologia ?

Calculando a taxa de eventos teremos

$$\frac{R_{\alpha\beta}}{\phi_{\alpha}^{\text{SM}}\sigma_{\beta}^{\text{SM}}} = \sum_{k,l} e^{-i\phi_{kl}} [V_{\alpha}^{kl}(\mathbf{P}_X)] \times [V_{\beta}^{kl}(\mathbf{D}_X)]^*$$

com  $V_{\alpha}^{kl}(\mathbf{P}_X) = U_{\alpha k}^* U_{\alpha l} + \mathbf{p}_{XL}(\epsilon_X U)_{\alpha k}^* U_{\alpha l} + \mathbf{p}_{XL}^* U_{\alpha k}^* (\epsilon_X U)_{\alpha l} + \mathbf{p}_{XX}(\epsilon_X U)_{\alpha k}^* (\epsilon_X U)_{\alpha l}$  e

$$\phi_{kl} = \frac{\Delta m_{kl}^2}{2E_{\nu}}$$

$$p_{XY} = \frac{\int d\Pi_P A_X^P \bar{A}_Y^P}{\int d\Pi_P |A_L^P|^2} \quad d_{XY} = \frac{\int d\Pi_D A_X^D \bar{A}_Y^D}{\int d\Pi_D |A_L^D|^2},$$

Especificamente temos que com os termos em magenta dependente da energia

$$\begin{aligned} p_{\text{SL}}^{\beta^{\pm}} &= 0 & p_{\text{SS}}^{\beta^{\pm}} &= \frac{g_S^2}{3g_A^2} & d_{\text{SL}}^{\beta^{\pm}} &= \frac{g_S g_V}{g_V^2 + 3g_A^2} \frac{m_e}{E_e} & d_{\text{SS}} &= \frac{g_S^2}{g_V^2 + 3g_A^2} \\ p_{\text{TL}}^{\beta^{\pm}} &= -\frac{g_T}{g_A} \frac{m_e}{f(E_{\nu})} & p_{\text{TT}}^{\beta^{\pm}} &= \frac{g_T^2}{g_A^2} & d_{\text{TL}}^{\beta^{\pm}} &= \frac{3g_T g_A}{g_V^2 + 3g_A^2} \frac{m_e}{E_e} & d_{\text{TT}} &= \frac{3g_T^2}{g_V^2 + 3g_A^2} \end{aligned}$$

onde  $E_e = E_{\nu} \mp m_e$  e  $f(E_{\nu})$  é uma função obtida dos espectros  $\beta^-$ .

## A taxa de neutrinos com BSM é

$$\frac{R_{\alpha\beta}}{\phi_{\alpha}^{\text{SM}}\sigma_{\beta}^{\text{SM}}} = \sum_{k,l} e^{-i\phi_{kl}} [V_{\alpha}^{kl}(\mathbf{p}_X)] \times [V_{\beta}^{kl}(\mathbf{D}_X)]^* = N^{\text{non-osc}} - \sum_{k>l} N_{kl}^{\text{osc}} \sin^2\left(\frac{\Delta m_{kl}^2 L}{2E}\right) + \sum_{k>l} N_{kl}^{\text{CP}} \sin\left(\frac{\Delta m_{kl}^2 L}{4E}\right)$$

com  $V_{\alpha}^{kl}(\mathbf{p}_X) = U_{\alpha k}^* U_{\alpha l} + p_{XL}(\epsilon_X U)_{\alpha k}^* U_{\alpha l} + p_{XL}^* U_{\alpha k}^* (\epsilon_X U)_{\alpha l} + p_{XX}(\epsilon_X U)_{\alpha k}^* (\epsilon_X U)_{\alpha l}$  e

No caso de oscilação de neutrinos devido a matrix PMNS,

$$N_{kl}^{\text{CP}} \propto \Im\left(U_{\alpha k}^* U_{\alpha l} U_{\beta k} U_{\beta l}^*\right) \quad N_{kl}^{\text{CP}} \Big|_{\alpha \rightarrow \beta} \propto \Im\left(\left|U_{\alpha k}^*\right|^2 \left|U_{\alpha l}\right|^2\right) = 0$$

No caso de oscilação de neutrinos com BSM temos que

$$N_{\text{solar}}^{\text{CP}} \propto \left[ (d_{XL} - p_{XL}) \Im[\tilde{\epsilon}_X]_{e\mu}, \left| [\tilde{\epsilon}_X]_{e\mu} \right|^2 (d_{XX} p_{XL} - d_{XL} p_{XX}) \right] \Im[\tilde{\epsilon}_X]_{e\mu}$$

a interação BSM pode induzir efeitos de violação CP em neutrinos.

Resumo da opera: podemos ter efeitos de violação de CP vindos da interação.

Isto é analogo a teoria Super-Fraca de Wolfenstein feita para os quarks. Para quarks foi rejeitada pelos dados experimentais que confirmava ser pelo mecanismo de CKM.

$[\epsilon_S]_{\alpha\beta}$  ( $[\epsilon_T]_{\alpha\beta}$ ) o acoplamento escalar (tensorial) carregado é uma matriz complexa, fonte da violação CP.

## Estratégia dos uso os experimentos de neutrinos

**neutrinos solares,  $\nu_e \rightarrow \nu_e$**  Super-Kamiokande, SNO, Gallex, SAGE, Borexino

**anti-neutrinos de reatores,  $\bar{\nu}_e \rightarrow \bar{\nu}_e$**  medium baseline (Daya Bay, RENO, Double Chooz)

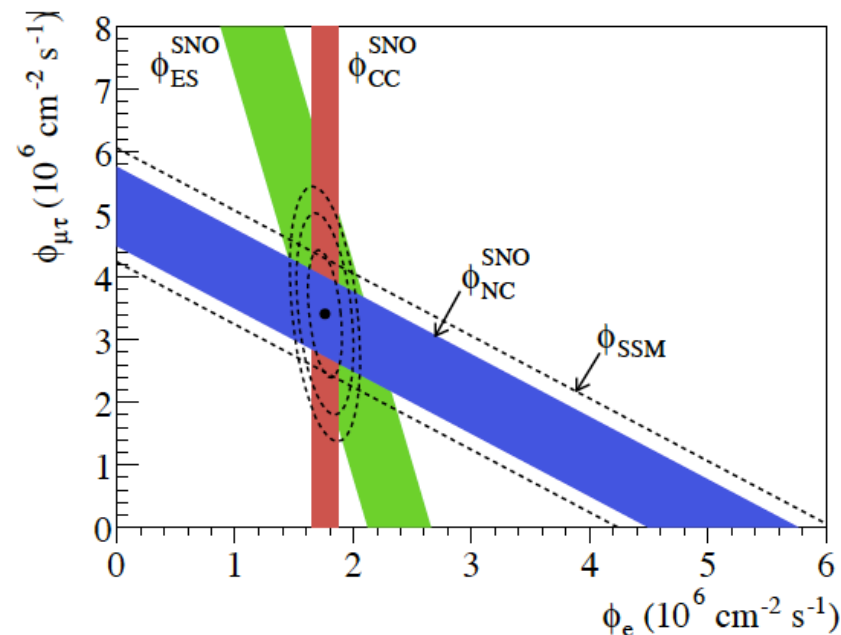
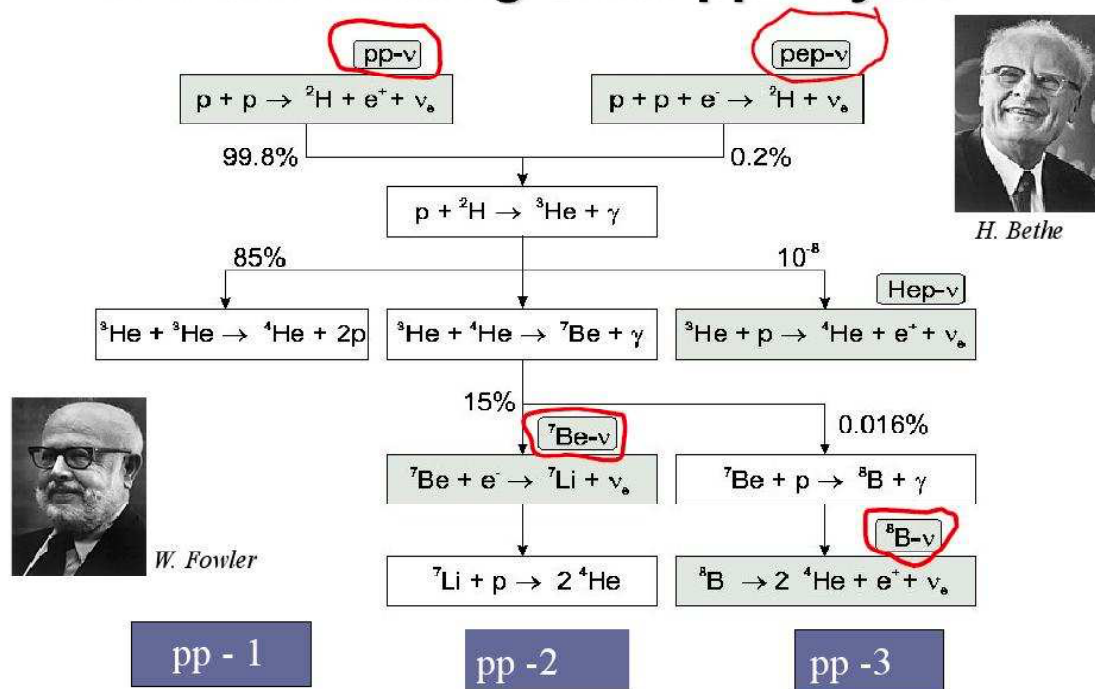
longbaseline (KamLand)

para ter os vínculos sobre a fisica BSM e ter vínculos sobre a violação CP.

## Data dos experimentos de neutrinos

neutrinos solares,  $\nu_e \rightarrow \nu_e$

### The dominating solar pp - cycle



com as reações

[ **CC:**  $\nu_e + {}^2_1\text{H} \rightarrow p + p + e^-$  ]

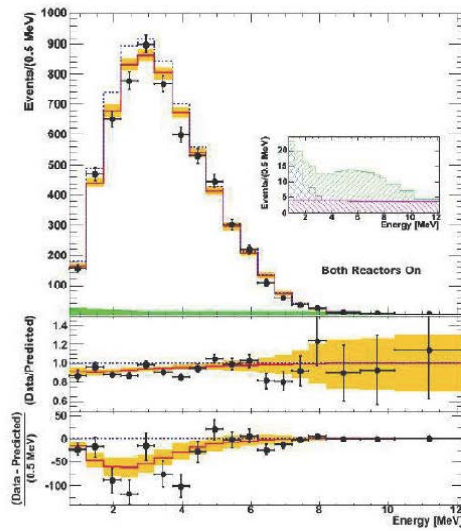
[ **NC:**  $\nu + {}^2_1\text{H} \rightarrow p + n + \nu$  ]

[ **ES:**  $\nu + e^- \rightarrow \nu + e^-$  ]

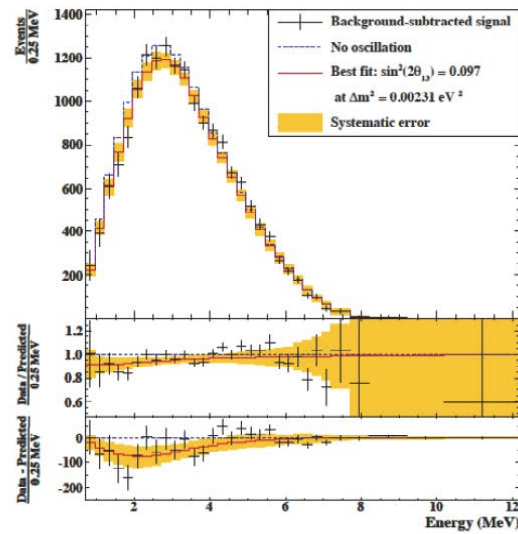
# Data dos experimentos de neutrinos

neutrinos de reatores,  $\bar{\nu}_e \rightarrow \bar{\nu}_e$  medium baseline

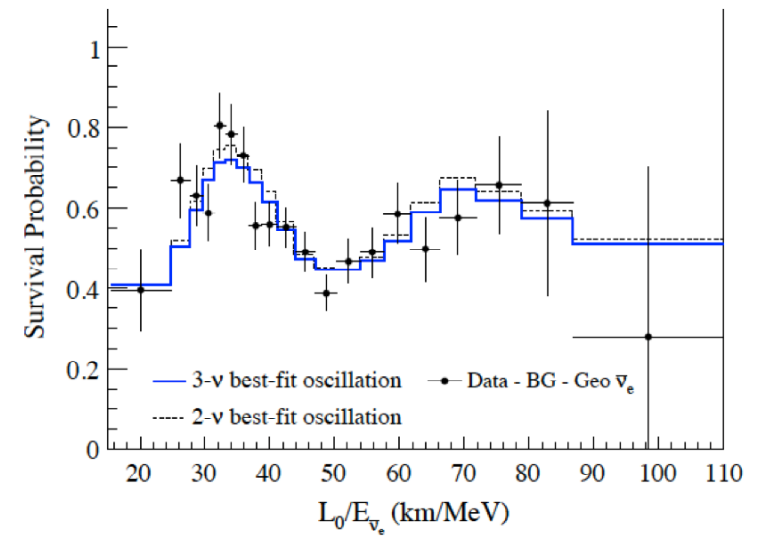
longbaseline



Gd-capture



H-capture



usando dados dos experimentos Daya Bay, RENO e Double Chooz.

## Data dos experimentos de neutrinos

Para cada experimento calculamos o ajuste aos dados experimentais.

Temos que

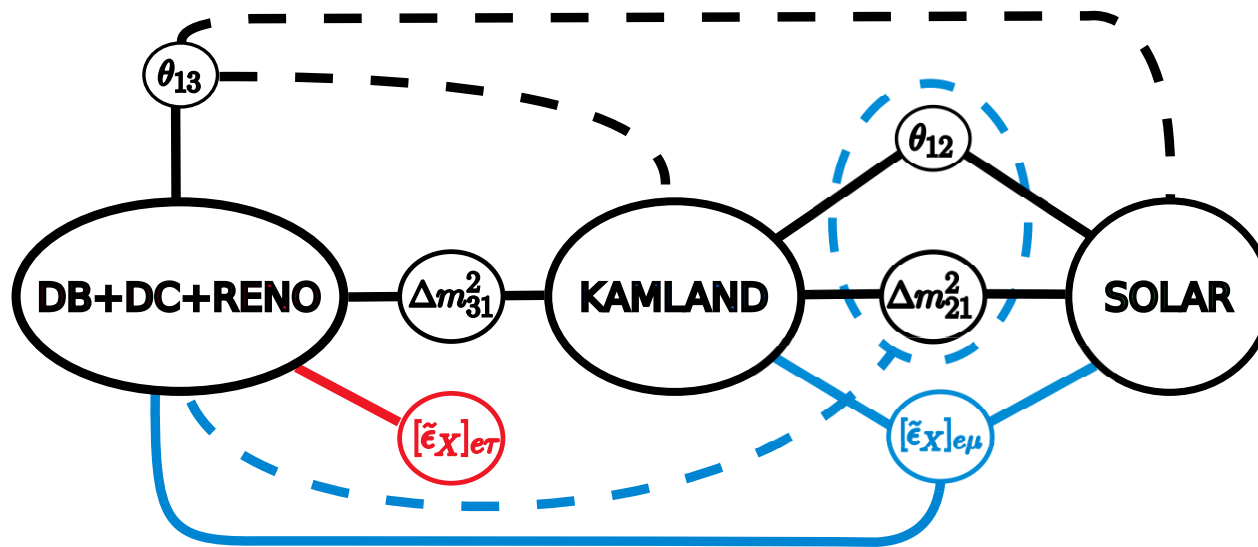
$$\chi_{\text{KamLand}}^2 = \sum_i \frac{(d_i - n_i - b_i)^2}{d_i} + \frac{a_i^2}{\sigma_i^2} \quad \chi_{\text{MBR}}^2 = \sum_{\text{exp}=\{\text{DB,DC,RENO}\}} (\chi_{\text{exp}}^{\text{shape}})^2 + (\chi_{\text{exp}}^{\text{rate}})^2 + \frac{(1 - \alpha)^2}{\sigma_a^2}$$

Juntando

$$\chi_{\text{global}}^2 = \chi_{\text{MBR}}^2 + \chi_{\text{KamLand}}^2 + \chi_{\text{Sun}}^2.$$

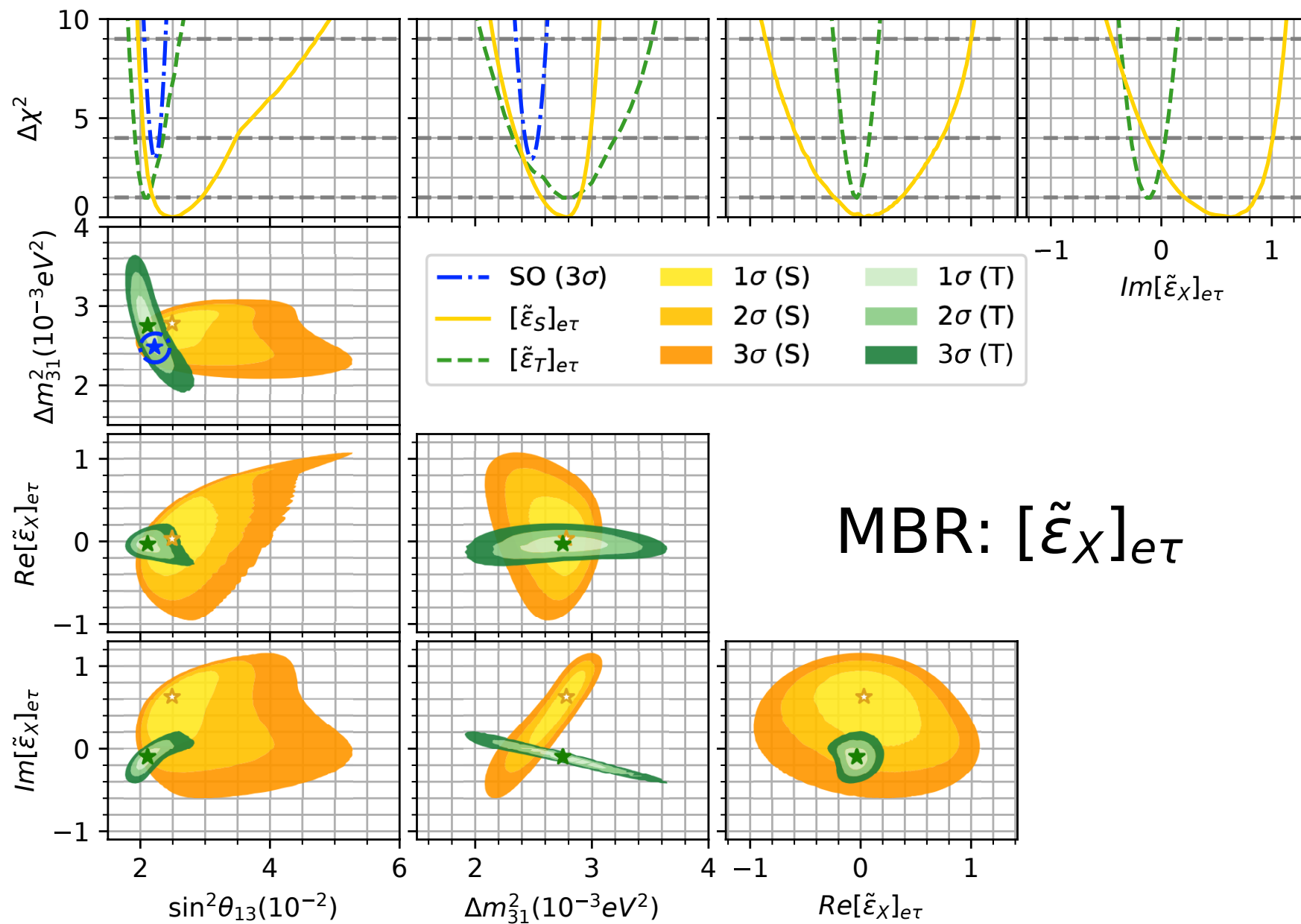
temos os parâmetros  $\theta_{12}, \theta_{13}, \Delta m_{21}^2, \Delta m_{31}^2$  e os de BSM,  $\Re [\tilde{\epsilon}_S]_{\alpha\beta}, \Im [\tilde{\epsilon}_S]_{\alpha\beta}$ . Definimos

$$\tilde{\epsilon}_X = \epsilon_X U_{23}(\theta_{23}, \delta).$$



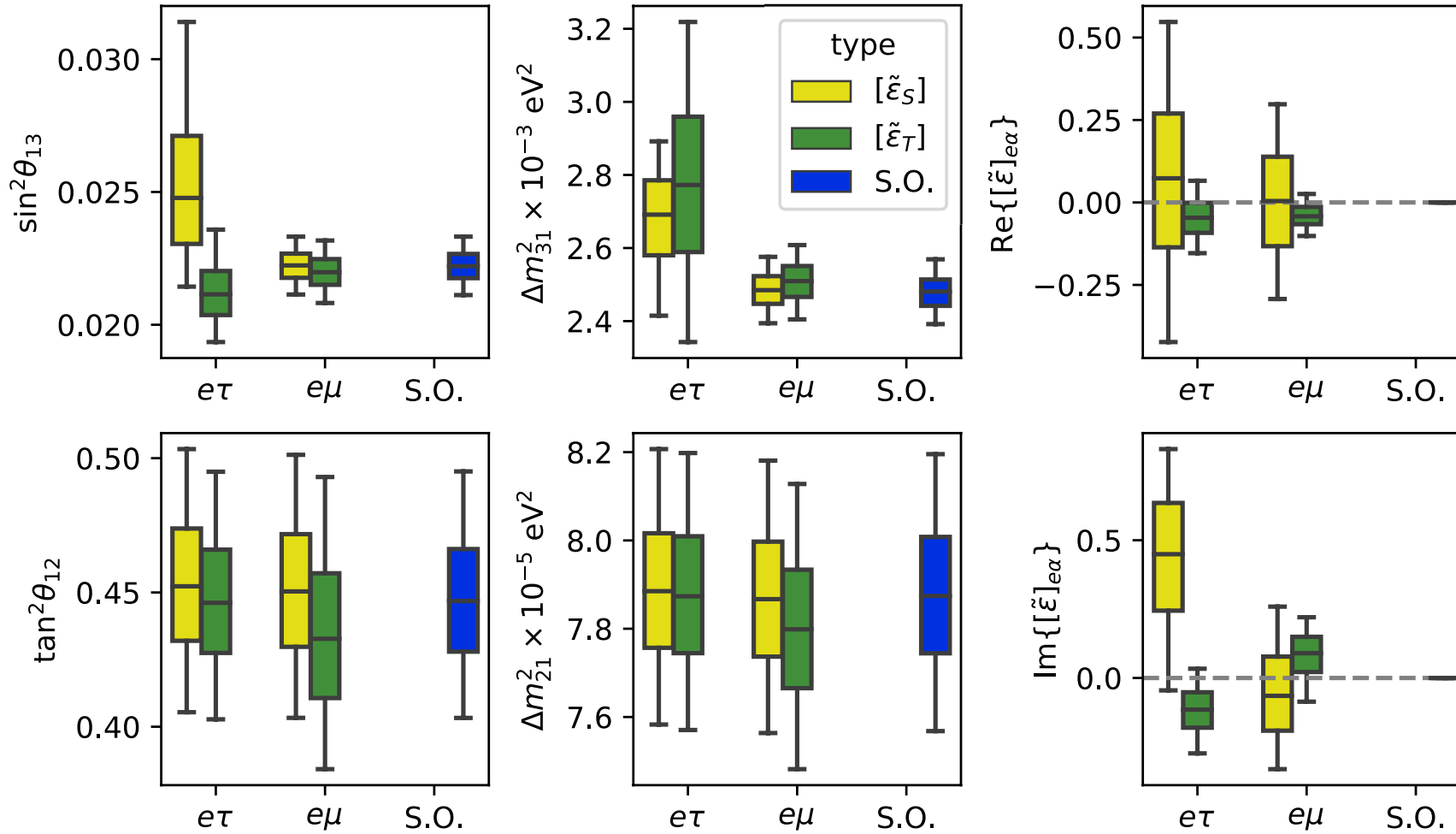


# Resultados



Regiao permitida aumenta, signal de degenerescência entre  $\Im [\tilde{\xi}_\chi]_{e\tau}$  e outros parâmetros.

## Resultados



Valores de  $\sin^2 \theta_{13}$  e  $\Delta m_{31}^2$  são alterados dos valores padrões. Outros vínculos podem alterar isto. foi achado que a introdução de BSM melhora levemente o ajuste dos dados, devido a preferencia por um acoplamento imaginário não nulo.

## Conclusões

- 1) Física Além do Modelo Padrão (BSM) pode se manifestar em experimentos de neutrinos alterando o padrão de oscilação
- 2) Um dos efeitos possíveis é a existência de novas fontes de violação CP, devido a interações
- 3) Com análise de dados de neutrinos solares e de reatores obtemos que os valores possíveis a  $1\sigma$  são da parte real e da parte imaginária de acoplamentos escalares e tensoriais são

$$\Re[\tilde{\epsilon}_S]_{e\tau} = +0.03_{-0.21}^{+0.40} \quad \Im[\tilde{\epsilon}_S]_{e\tau} = -0.62_{-0.23}^{+0.41} \quad \Re[\tilde{\epsilon}_T]_{e\tau} = -0.03_{-0.06}^{+0.06} \quad \Im[\tilde{\epsilon}_T]_{e\tau} = +0.12_{-0.08}^{+0.10}.$$

A qualidade deste ajuste é igual ou levemente melhor do que a solução com oscilação devido a matriz PMNS

- 4) Podemos observar tais sinais de Física Além do Modelo Padrão em outros experimentos de neutrinos ? Certamente algo a tentar. Por exemplo estudar experimentos que tem violação de CP como T2K, NOVA com a medida de efeitos de transição  $\nu_\mu \rightarrow \nu_e$ .

Testar em experimentos que medidas a diferença de massas  $\Delta m_{31}^2$ .

